

### 3. Die Physik der Solarzelle

#### 3.1. Einleitung

Wir werden im Folgenden die Physik der kristallinen Solarzelle berechnen. Dabei folgen wir Kapitel 3 des Handbook of Photovoltaic Science and Engineering. Allerdings werden wir einige Herleitungen etwas detaillierter machen, da ab und an sonst etwas zu knapp dargestellt würde.

Es ist wichtig zu verstehen, daß diese Rechnungen zum Verständnis der Solarzelle kein Selbstzweck sind, obgleich die Relationen mitunter ästhetisch ansprechen: Tausende von Forschern in Instituten und Unternehmen verbessern kontinuierlich den Wirkungsgrad von Solarzellen. Sie folgen dabei den Leitlinien, die die folgenden Rechnungen aufzeigen.

### 3.2. Grundlegende Eigenschaften von Halbleitern

Kristalle sind periodisch aufgebaute Festkörper.

Die Schrödingergleichung für ein Elektron

$$\nabla^2 \Psi(\vec{r}) + \frac{2m}{\hbar^2} [E - U(\vec{r})] \Psi(\vec{r}) = 0 \quad (3.4)$$

beschreibt die Wellenfunktion  $\Psi(\vec{r})$  des Elektrons.

Im Kristall ergibt die Periodizität

$$U(\vec{r} + \vec{R}) = U(\vec{r}) \quad (3.4b)$$

und das Bloch-Theorem sagt, daß die Wellenfunktion dann geschrieben werden kann als

$$\Psi_{n\vec{k}}(\vec{r}) = e^{i\vec{k}\cdot\vec{r}} u_n(\vec{r}) \quad (3.4c)$$

wobei  $u_{n\vec{k}}(\vec{r}) = u_{n\vec{k}}(\vec{r} + \vec{R})$

und  $n$  das Energieniveau bezeichnet.

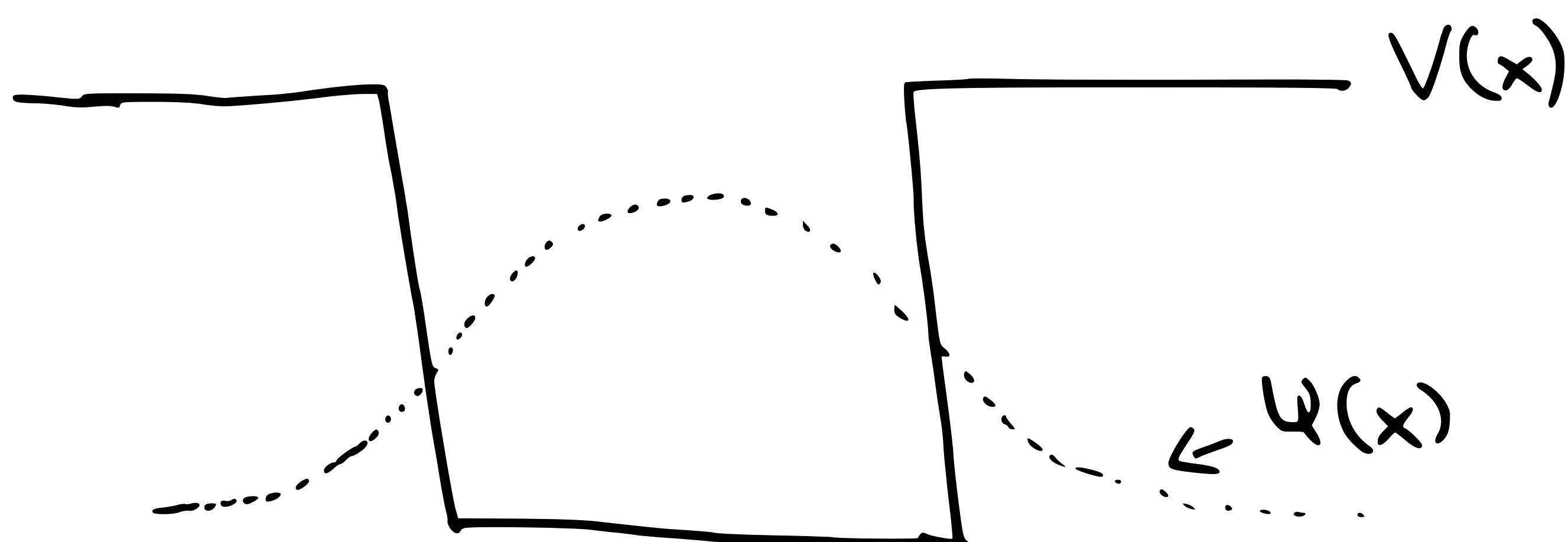
Der Wellenvektor  $\vec{k}$  ist für ein freies Elektron mit dem Impuls verknüpft:  $\vec{p} = t\vec{k}$ .

Das ist im Fall eines Festkörpers nicht zu 100% richtig: die Größe  $\vec{p} = t\vec{k}$  heißt dann

Kristallimpuls. Der Kristallimpuls ändert sich durch ein externes Feld, während der Wahr-Impuls durch externe Felder und das periodische Feld des Kristalls beeinflusst wird.

Nichts desto trotz ist der Kristallimpuls die logische Erweiterung des Impulsbegriffes auf den Festkörper.

Sie kennen sicherlich die Lösung des einfachsten Quantenmechanischen Systems, des Potentialtopfs:



Dabei gibt es Lösungen für  $\psi(x)$  mit unterschiedlicher Energie  $E_n$ . Bringen Sie nun - wie in einem Festkörper - periodisch solche Potentialtopfe aneinander, stellt sich ein ~~kein~~ Kontinuum von erlaubten Energien  $\psi_{nk}$  ein. Dabei gibt es jedoch Bereiche zwischen erlaubten Energien  $\psi_{nk}$  welche nicht besetzt werden dürfen.

### zu 3.2.2 Energibänder : Mehr zu Löchern

Ich möchte kurz dem Buch von Peter Wülfel folgen und das Konzept der Löcher im Valenzband besser erläutern.

Ein komplett gefülltes Band besitzt für jeden Zustand mit Impuls  $\vec{p}_e$  einen Antiknoten  $-\vec{p}_e$ , es findet also kein Netto-Ladungstransport statt.

Schauen wir uns nun aber ein Band an, in dem ein  $e^{\Theta}$ -Zustand nicht besetzt ist. Der Strom ist die Summe der Geschwindigkeiten  $v_e$  mal die Ladung des  $e^{\Theta}$ :

$$j = -\frac{e}{V_{\text{ol}}} \sum_{\substack{i \in \text{alle besetzte} \\ \text{Basiszüge}}} v_{e,i} = -\frac{e}{V_{\text{ol}}} \underbrace{\sum_{\substack{i \in \text{alle unbesetzte} \\ \text{des Bandes}}} v_{e,i}}_{=0} - \left( -\frac{e}{V_{\text{ol}}} \tilde{v}_e \right) = \frac{e}{V_{\text{ol}}} \tilde{v}_e$$

wobei  $\tilde{v}_e$  die Geschwindigkeit des nicht besetzten  $e^{\Theta}$  Zustandes sein soll.

Niemand kann uns jetzt davon hindern den selben Strom mit einem voll gefüllten  $e^{\Theta}$  Band und einem zusätzlichen Loch mit zunächst unbekannter Ladung  $q_L$  und Geschwindigkeit  $\tilde{v}_L$  zu beschreiben.

$$j = -\frac{e}{Vol} \sum_{i \in \text{alle Zustände des Bandes}} v_{e,i} + \frac{q_h}{Vol} \tilde{v}_e$$

$\underbrace{\quad}_{= 0 \text{ (gefülltes Band)}}$

Setzen wir die beiden Ausdrücke für  $j$  nun gleich:

$$\bar{j} = \frac{e}{Vol} \tilde{v}_e = \frac{q_h}{Vol} \tilde{v}_h$$

Nun ist die Gesamtladung eines Bandes mit einem fehlenden  $e^0$  gerade dieselbe als würde man eine positive Elementarladung zu einem vollständig gefüllten Band hinzufügen, so dass

$$\underline{\underline{q_h = +e}}$$

und aus der Gleichung für  $j$  von oben:

$$\underline{\underline{\tilde{v}_h = \tilde{v}_e}}$$

Dies bedeutet also auch, daß die Reaktion auf ein von außen angelegtes Feld des fast voll gefüllten Bandes und die des Loches gleich sind:

$$\alpha_e = -\frac{eE}{m^*} = \frac{eE}{m_p^*} = \alpha_h$$

Die effektive Masse des Loches ist demnach

$$\underline{m_p^*} = -\underline{m_n^*}$$

(Achtung:  $m_n^*$  ist hier effektiv  $e^\Theta$  Mass im Valenzband!)

Da die Masse  $m_n^*$  im Valenzband negativ ist (die E-Parabel hat ja ein Maximum!), ist die effektive Masse des Loches positiv.

Dies und die Gleichheit der  $\tilde{v}_e = \tilde{v}_h$  bedeutet

$$\underline{\tilde{p}_h} = -\underline{\tilde{p}_e}$$

sowie

$$\underline{\underline{E_h}} = -\underline{\underline{E_e}}$$

( $\tilde{p}_h^2 = \tilde{p}_e^2$ , aber  $m_p^* = -m_n^*$ )

Und es ist offensichtlich, daß die Beschreibung des fast gefüllten Valenzbandes mittels weniger Löcherzustände konzeptionell einfacher. Löcher sind aber ebenso "real" wie  $e^\Theta$ !

### zu 3.2.2 Energiebänder

An den Energie-Kanten der Bänder kann man  $E(p)$  als Funktion des Kristallimpulses  $p$  Taylorentwickeln:

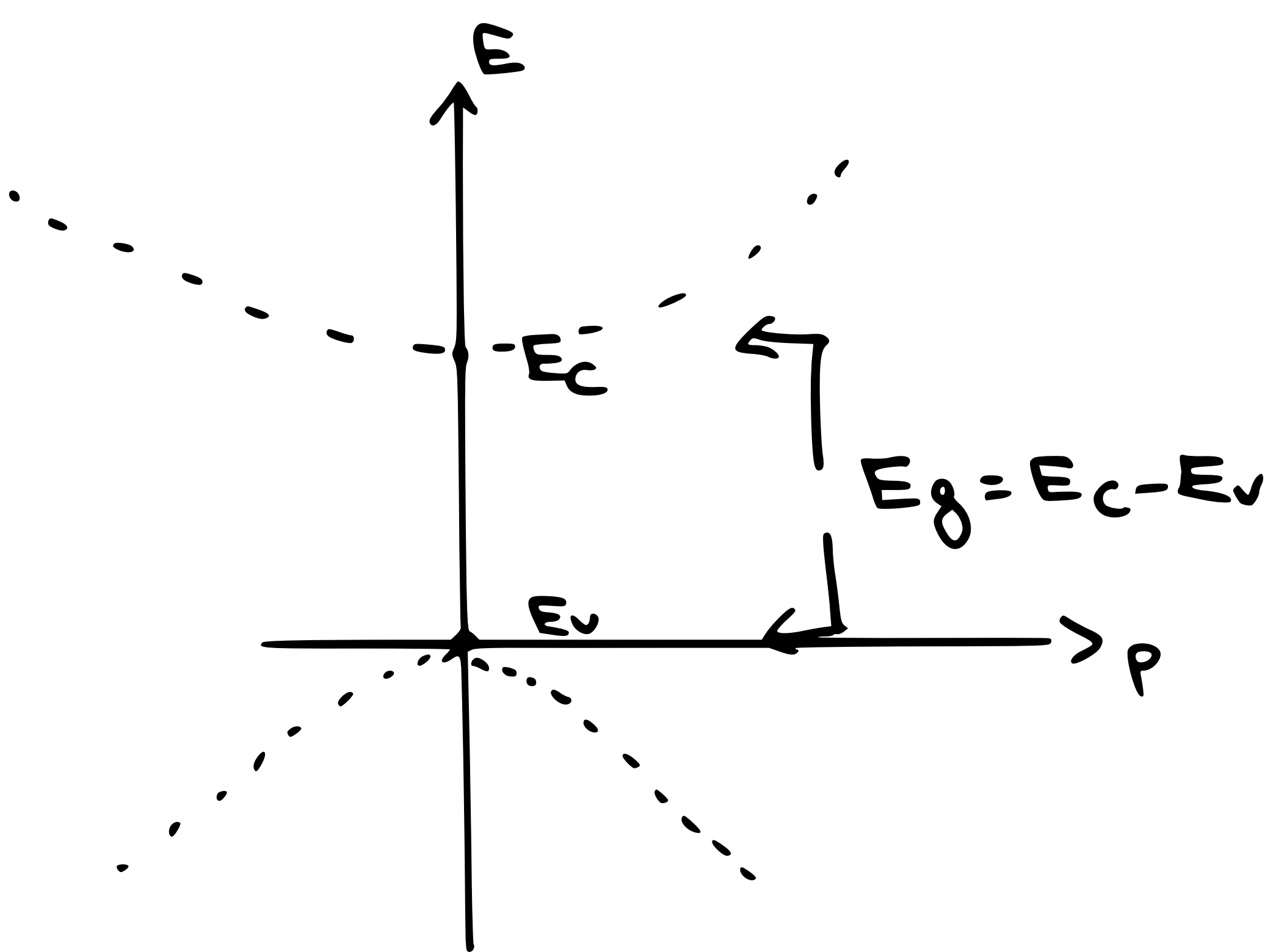
$$E(p) = E_{\text{const}} + \frac{p^2}{2m^*}$$

Im einfachsten Fall liegen das Maximum des Valenzbandes und das Minimum des Leitungsbandes bei gleichem  $p$ :

$$E - E_C = \frac{p^2}{2m_n^*}$$

$$E_V - E = \frac{p^2}{2m_p^*}$$

Dirkte Halbleiter

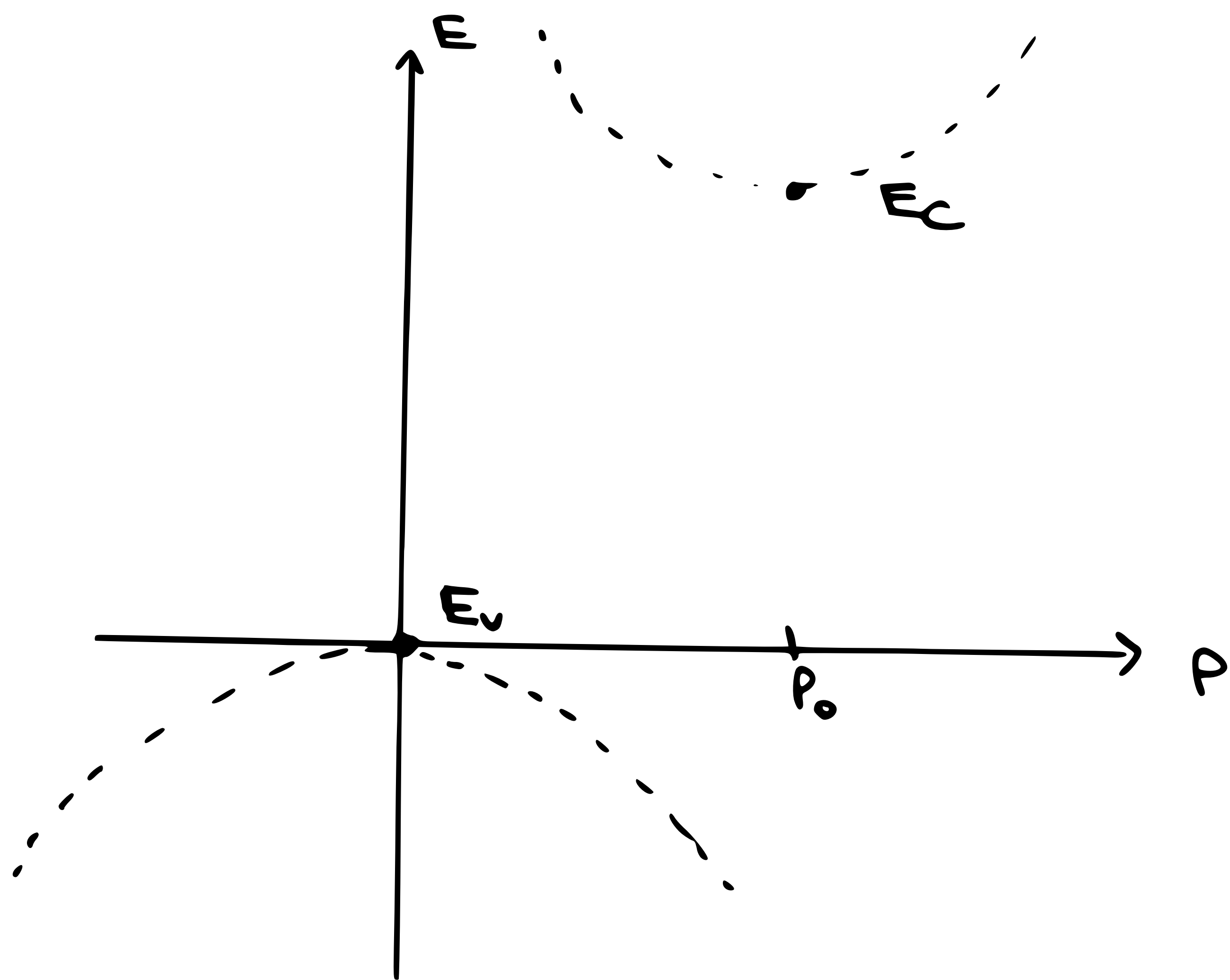


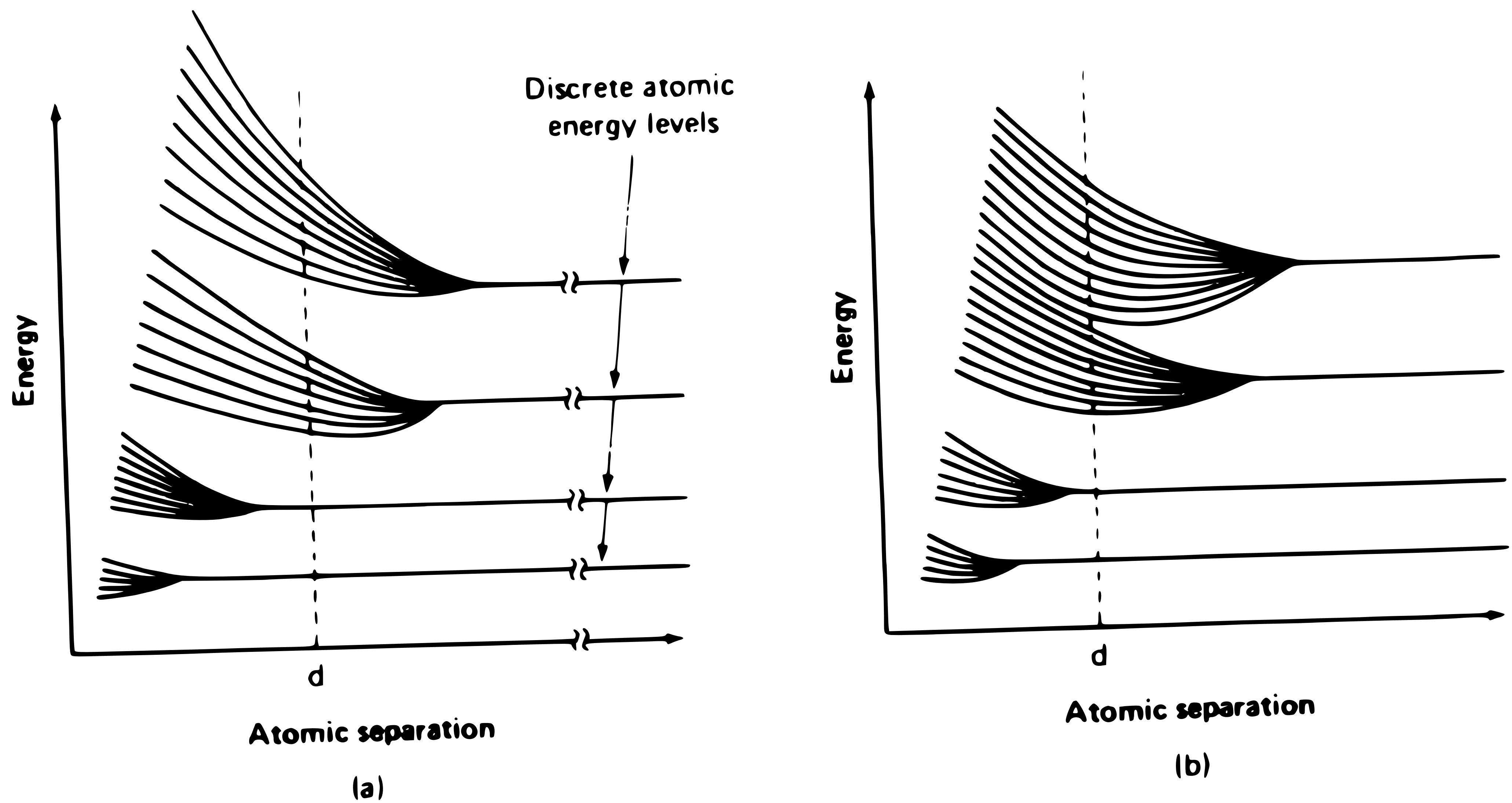
In anderen Festkörpern wie z.B. Silizium liegt das Maximum des Valenzbandes nicht beim selben  $p$ , wie das Minimum des Leitungsbandes:

$$E - E_C = \frac{(p - p_0)^2}{2m_n^*}$$

$$E_V - E = \frac{(p - p'_0)^2}{2m_p^*}$$

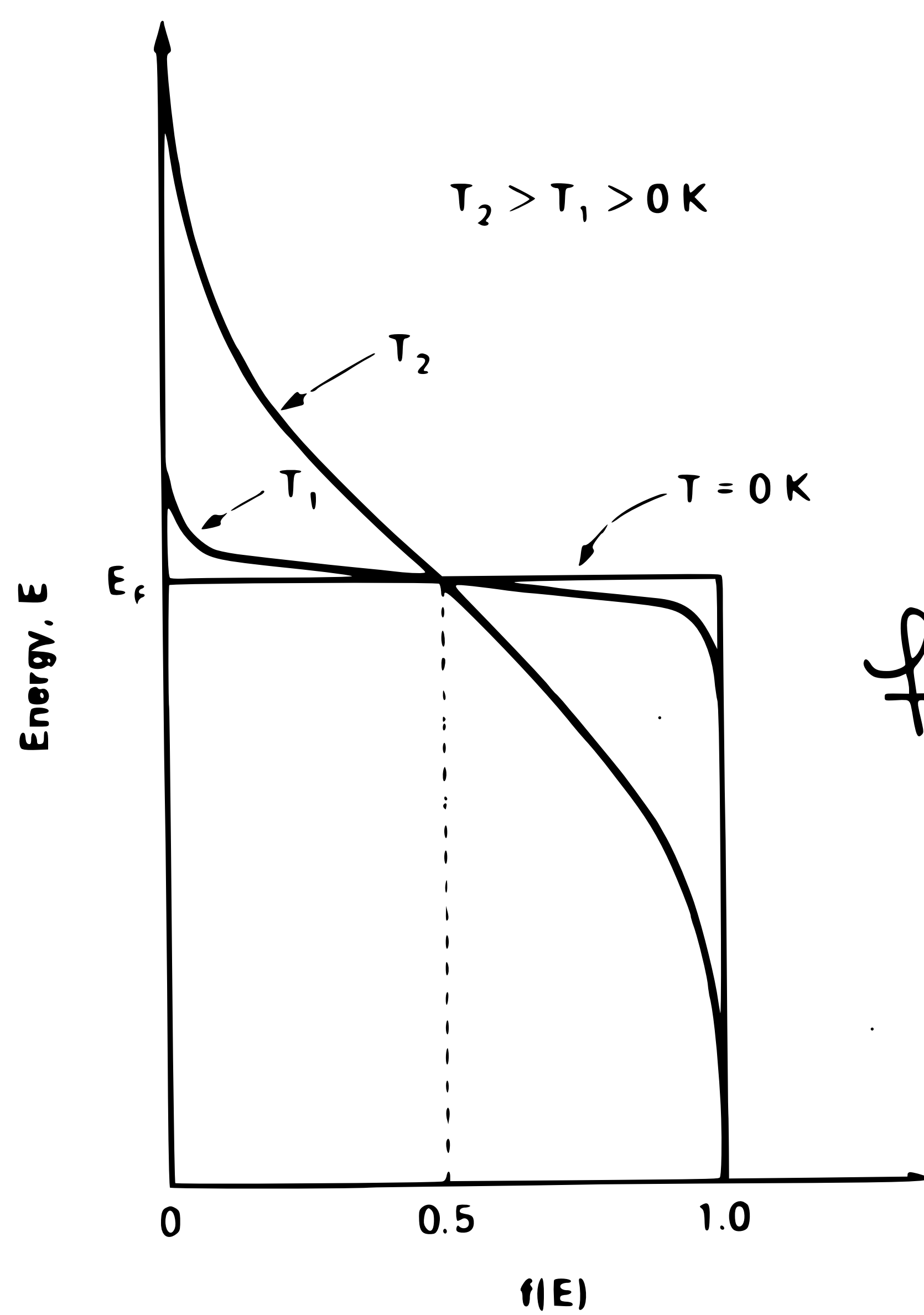
Mit  $p_0 \neq p'_0$ . Diese Halbleiter nennen  
Indirekte Halbleiter.





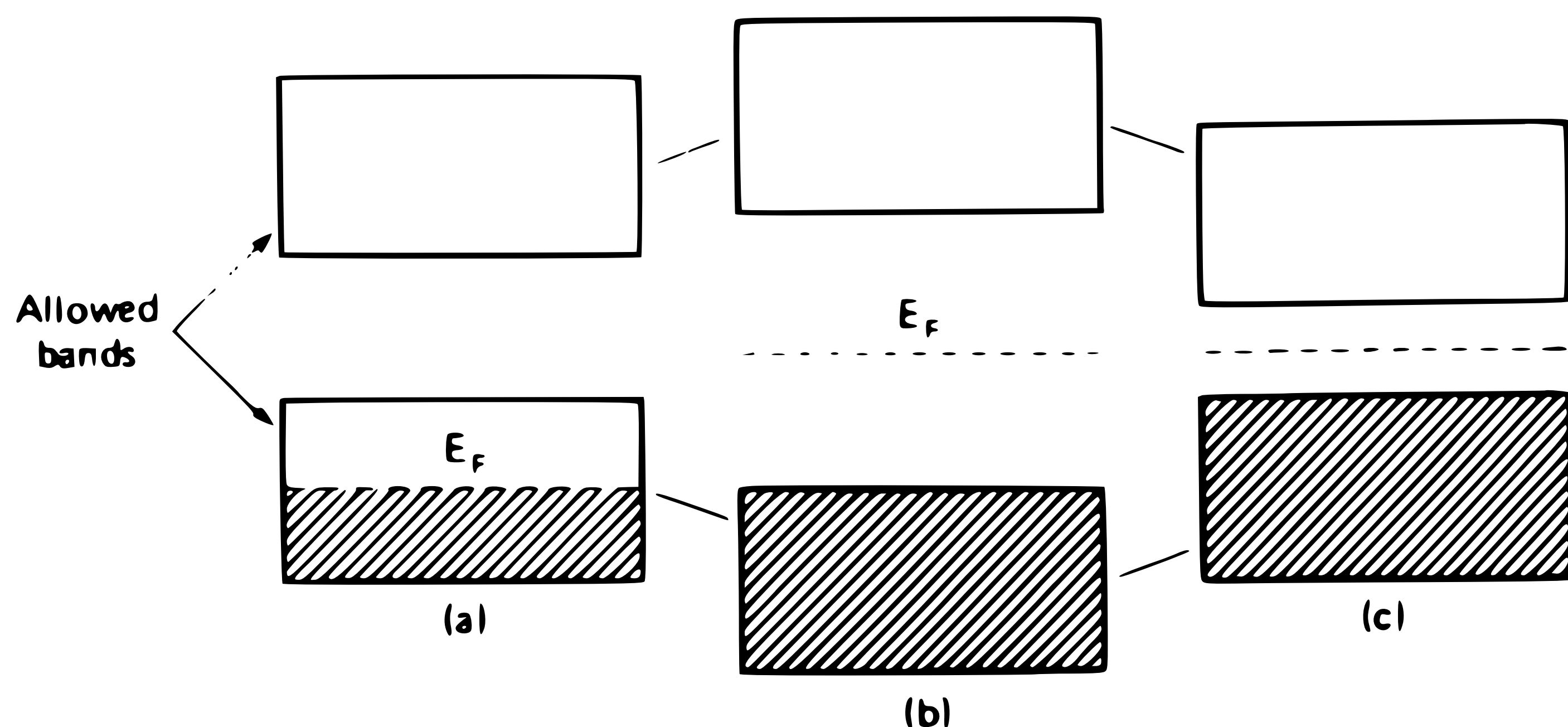
**Figure 2.4.** Schematic indicating how the discrete energies allowed to electrons in an isolated atom split up into bands of allowed energies when a number of similar atoms are brought together in a crystal:

- (a) For this case,  $d$ , the characteristic spacing of atoms in a crystal, is such that there are bands of energies allowed to electrons generated by bands of forbidden



$$f(E) = \left[ 1 + e^{(E - E_F)/kT} \right]^{-1}$$

**Figure 2.5.** Fermi-Dirac distribution function. States above the Fermi level,  $E_F$ , have a low probability of being occupied by electrons, whereas those below are likely to be so occupied.



**Figure 2.6.** Diagrams showing the way in which allowed states are occupied by electrons in:

- (a) A metal.
- (b) An insulator.
- (c) A semiconductor.

Zu 3.2.3

### Leitungsband + Valenzband Bestandsdichten

Wir wollen verstehen, wieviel  $e^{\ominus}$  bei Raumtemperatur im Leitungsband des Halbleiters vorhanden sind.

Dazu ist der 1. Schritt herauszufinden, wieviele quantenmechanisch erlaubte Bestände es gibt. Man macht dies wie aus der Statistischen Physik gewohnt

unter zu Hilfenahme der Tatsache, daß an den Kanten des Leitung- (und <sup>aus</sup> Valenzbandes)  $\frac{(E-E_c)}{P^2} = \frac{P^2}{2m^*}$  Näherungswert gilt. Die  $e^{\ominus}$  werden in der Sprache der effektiven Masse dabei ja als frei betrachtet.

Fangen wir also an mit einem freien Teilchen in einem 1-dimensionalen Kasten der Länge 'L':

$$\frac{L}{\lambda} = n_x \quad \text{mit } \lambda: \text{Wellenlänge}$$

$$n_x \in \mathbb{N}$$

Da  $P_x = h \cdot \lambda \Rightarrow \lambda = \frac{h}{P_x}$  mit  $P_x$ : Kristallimpuls in x-Richtung

$$\Rightarrow L p_x = h u_x$$

Und um von einer erlaubten Mode  $u_x$  zur nächsten zu kommen:  $u_x \rightarrow u_{x+1}$  ist eine Impulsänderung  $d p_x$  von:

$$L d p_x = h$$

notwendig.

In 3 Dimensionen demnach

$$L^3 d p_x d p_y d p_z = h^3$$

Das Impulsraumvolumen  $d p_x d p_y d p_z$  für einen Einheitsquader  $L=1$  ist demnach  $h^3$ .

Jedes Tupel  $(u_x, u_y, u_z)$  bereichert einen erlaubten Zustand im Impulsraum, welcher  $h^3$  Volumen einnimmt.

In Kugelkoordinaten hat ein Kugelschalenelement das Volumen  $dV_s = 4\pi r^2 dr$

(wir interessieren uns ja nicht für  $p_x, p_y, p_z$  sondern nur für den Betrag, bzw.  $r^2$ )

Da jeder Zustand mit Spin  $\uparrow$  oder  $\downarrow$  vorkommt  
 multipliziert man dies noch mit 2 und dividiert  
 durch  $\hbar^3$  um an die im Differentialen  $d\rho$   
 enthaltenen Zustände zu gelangen:

$$g_c(E) dE = \frac{2 \cdot 4\pi p^2 d\rho}{\hbar^3}$$

Da wir im nächsten Schritt mit  $E$  statt  $p$  ab  
 Variable rechnen werden habe ich oben Schon  
 mal  $g_c(E) dE$  geschrieben und ersetze nun  
 $p^2 d\rho$  auf der rechten Seite ebenfalls:

$$(E - E_c) \frac{p^2}{2m_n^*} \rightarrow dE = \frac{pd\rho}{m_n^*}$$

$$\text{und } p = \sqrt{2m_n^*(E - E_c)}$$

$$\begin{aligned} \rightarrow p^2 d\rho &= p^2 \frac{m_n^*}{p} dE = p m_n^* dE \\ &= \sqrt{2 m_n^*} \sqrt{E - E_c} dE \end{aligned}$$

$$\begin{aligned}
 \Rightarrow g_c(E) dE &= \frac{8\pi}{\hbar^3} \sqrt{2} m_n^{3/2} \sqrt{E - E_c} dE \\
 &= \frac{8\pi \cdot \sqrt{2}}{\hbar^3 \cdot (2\pi)^3} m_n^{3/2} \sqrt{E - E_c} dE \\
 &= \frac{m_n^{3/2} \sqrt{2m_n^*(E - E_c)}}{\pi^2 \hbar^3} dE
 \end{aligned}$$

Was Glu. (3.7) entspricht. Analog erhält  
man den Ausdruck für das Vakuumband, Glu. (3.8).

### Zu 3.2.4. Gleichgewichtskonzentration

Wir berechnen im Detail die Konzentration  $n_0$  der  $e^\Theta$  im Leitungsbereich ( $\frac{\#}{cm^3}$ ):

$$n_0 = \int_{E_c}^{E_c^{\max}} f(E) g_c(E) dE$$

Bei Raumtemperatur ist offensichtlich  $E_c - E_F \gg kT$ , da der Halbleiter sonst ja sehr gut leiten müsste.

Daher  $f(E) = [1 + e^{(E - E_F)/kT}]^{-1} \approx e^{-(E - E_F)/kT}$

und da  $f(E)$  exponentiell  $\rightarrow 0$  für  $E \rightarrow \infty$ , kann in grober Näherung  $E_c^{\max} = \infty$  gesetzt werden. Somit

$$\begin{aligned} n_0 &= \int_{E_c}^{\infty} dE \frac{m_u^{3/2} \sqrt{2}}{\pi^2 \hbar^3} \sqrt{E - E_c} e^{(E_F - E)/kT} \\ &= \frac{\sqrt{2} m_u^{3/2}}{\pi^2 \hbar^3} e^{E_F/kT} \int_{E_c}^{\infty} dE \sqrt{E - E_c} e^{-E/kT} \end{aligned}$$

$$\text{Substituiere } x = \frac{E - E_c}{kT} \Rightarrow dx = \frac{dE}{kT}$$

$$\Rightarrow n_0 = \frac{\sqrt{2} m_n^{*} \frac{3}{2}}{\pi^2 \hbar^3} e^{(E_F - E_c)/kT} \int_{E_c}^{\infty} dE \sqrt{E - E_c} e^{-\frac{(E - E_c)/kT}{2}}$$

$$= \frac{\sqrt{2}}{\pi^2 \hbar^3} (m_n^{*} kT)^{\frac{3}{2}} e^{(E_F - E_c)/kT} \underbrace{\int_x^{\infty} dx \sqrt{x} e^{-x}}_{= \frac{\sqrt{\pi}}{2}}$$

$$\Rightarrow n_0 = 2 \underbrace{\left( \frac{m_n^{*} kT}{\pi \hbar^2 2} \right)^{\frac{3}{2}}}_{\downarrow} e^{-\frac{E_F - E_c}{kT}}$$

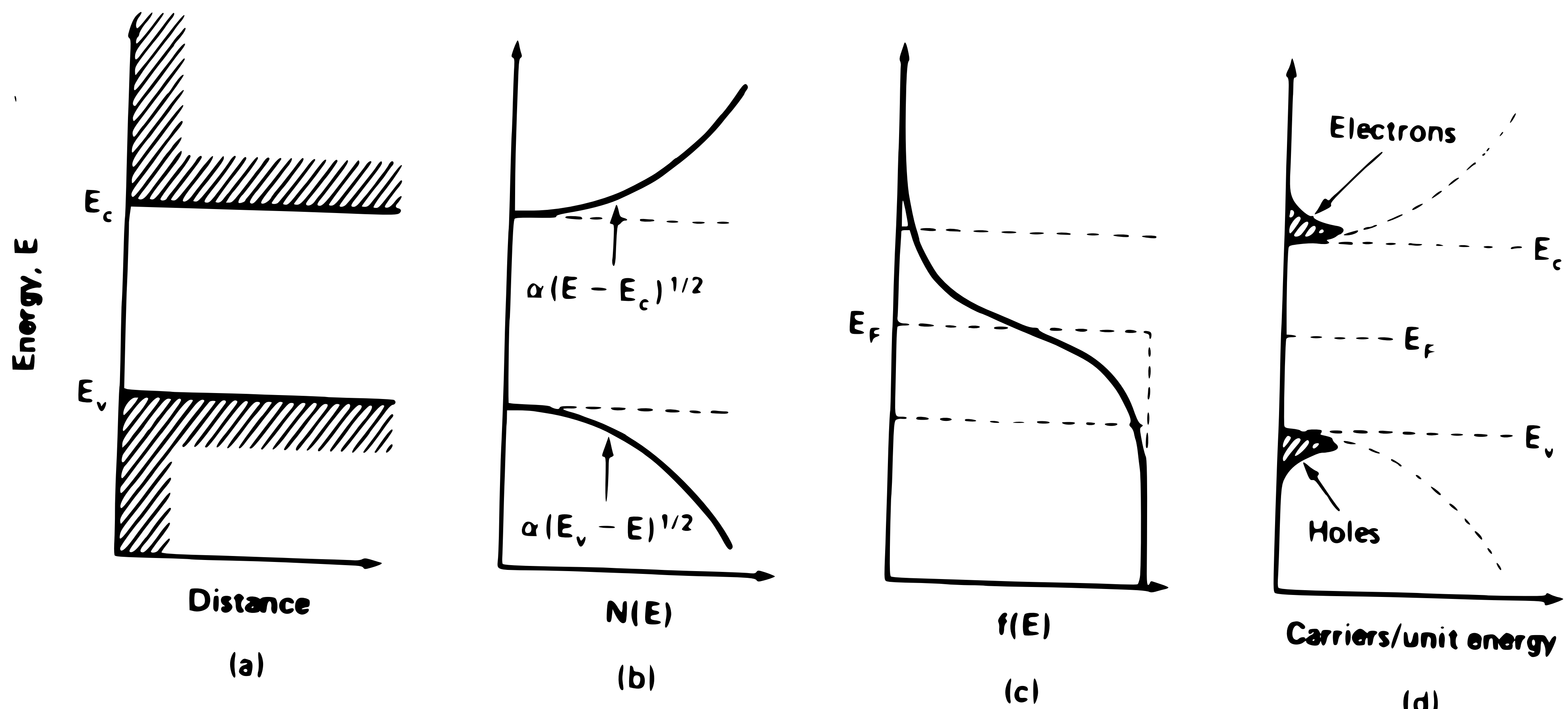
$$= N_c e^{-\frac{E_F - E_c}{kT}}$$

Wobei  $N_c$  bei gegebener Temperatur eine Konstante ist, nämlich die effektive Dichte der Zustände im Leitungsband.

Analog gilt für das Valenzband.

## Besetzung des Leitungsbandes

- $N(E) = \text{Const.} \sqrt{E - E_c}$
- $n = \text{Anzahl der } e^- \text{ im Leitungsband} = \int_{E_c}^{E_c^{\max}} f(E) N(E) dE$
- $\Rightarrow n = N_c e^{-\frac{E_F - E_c}{kT}}$
- $\Rightarrow \# \text{ Löcher im Valenzband: } p = N_v e^{\frac{E_v - E_F}{kT}}$



**Figure 2.10.** (a) Band representation of a semiconductor.  
 (b) Corresponding energy density of allowed states for electrons.  
 (c) Probability of occupation of these states.  
 (d) Resulting energy distribution of electrons and holes.  
 Note that most are clustered near the edge of the respective band.

- ideales Halbleiter:  $n = p \equiv n_i \leftarrow \text{intrinsische Konzentration}$
- $n \cdot p = n_i^2 = N_c N_v e^{(E_v - E_c)/kT} = N_c N_v e^{-E_B/kT}$
- $n = p \Rightarrow E_F = \frac{E_c + E_v}{2} + \frac{kT}{2} \ln \frac{N_v}{N_c}$